

核異性体 $^{180}\text{Ta}^m$ の 光核生成部分断面積

後神進史

甲南大学理工学部

9. Feb. 2006

Index

- 核異性体 $^{180}\text{Ta}^m$ の性質
- ^{180}Ta の天体生成起源
- 中性子直接計数による $^{181}\text{Ta}(\ ,\text{n})^{180}\text{Ta}$ 全光核反応断面積 $_{\text{tot}}$ の測定
- 放射化法による $^{181}\text{Ta}(\ ,\text{n})^{180}\text{Ta}^{\text{gs}}$ 部分光核反応断面積 $_{\text{gs}}$ の測定
- $^{181}\text{Ta}(\ ,\text{n})^{180}\text{Ta}^m$ 部分光核反応断面積 m の決定
- $^{180}\text{Ta}^m$ 天体生成起源に関する考察
- まとめ

Natural Isomer $^{180}\text{Ta}^m$

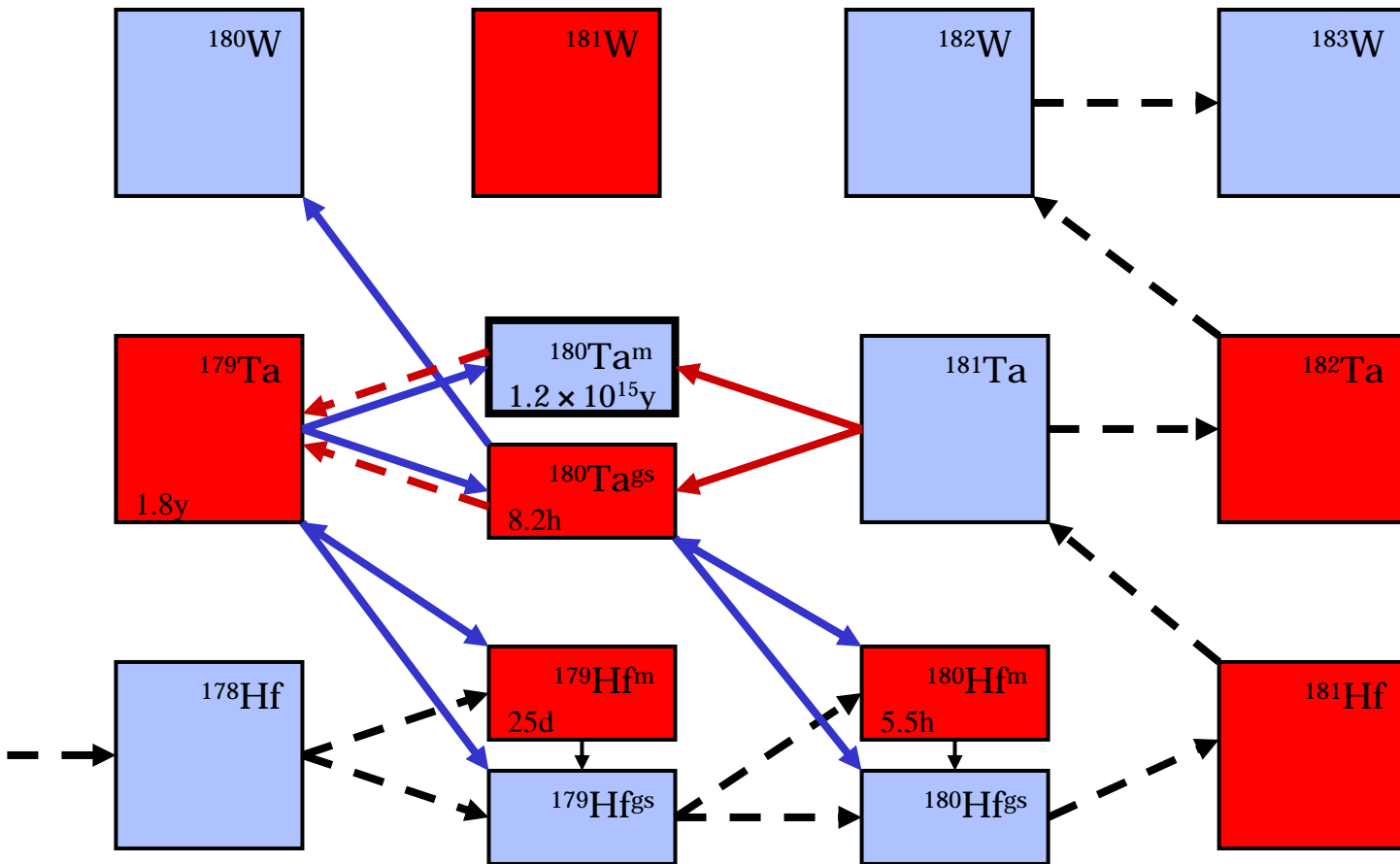
- Odd-odd Nuclei ($Z=73$, $N=107$)
- Proton rich nuclei (p-nuclei)
- Solar Abundance ; 0.012% (the rarest)
- Half Life $> 1.2 \times 10^{15}\text{y}$
- $E_x = 75\text{keV}$
- $J^- = 9^-$

$^{180}\text{Ta}^{\text{gs}}$

- Half Life = 8.152h
- $J^- = 1^+$

Network of nucleosynthesis

Stable
 Unstable



→ Primary s-process flow $^A_Z X(n, \gamma)^{A+1}_Z X(\beta^-)^{A+1}_{Z+1} X'$

→ p-process (photodisintegration) $^{181}\text{Ta}(\gamma, n)^{180}\text{Ta}^{gs,m}$

→ Weak branching s-process

Nucleosynthesis of $^{180}\text{Ta}^m$

- **p-process** in the pre-supernova phase of massive stars or during their explosions as type- supernovae

Temperature ; 1.8 $T[10^9\text{K}]$ 3.0

Typical photon energy ; 300[keV]



- **s-process** in the Low-mass AGB star

Temperature ; 2.9 $T[10^8\text{K}]$ 3.3

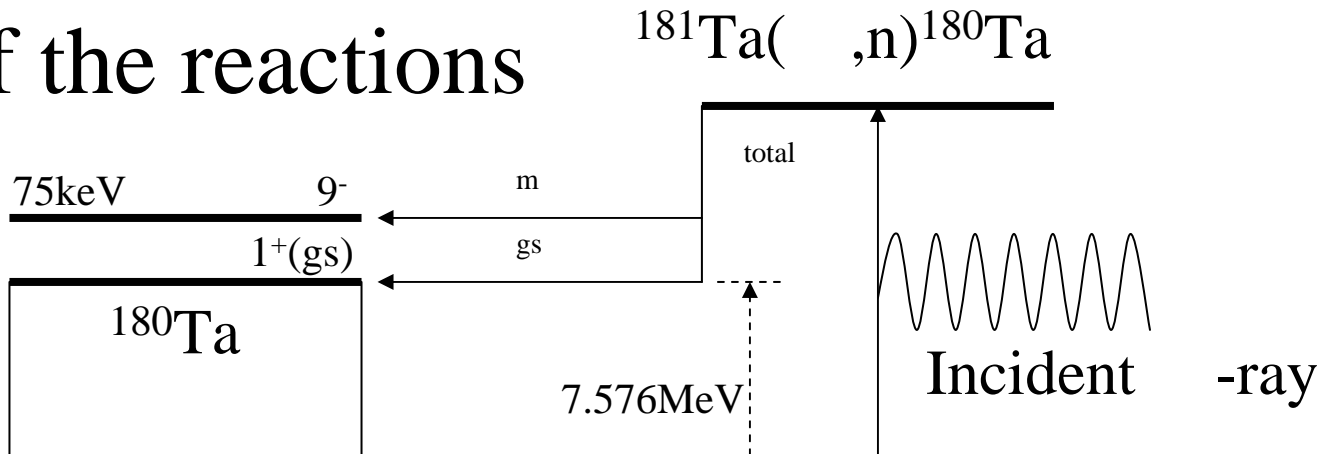
Typical photon energy ; 30[keV]



Progress of the reactions

$$T_{1/2} > 1.2 \times 10^{15} \text{ y}$$

$$T_{1/2} = 8.152 \text{ h}$$

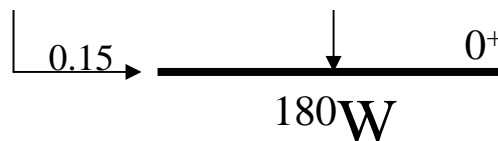
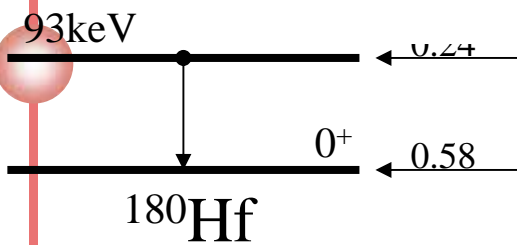


m

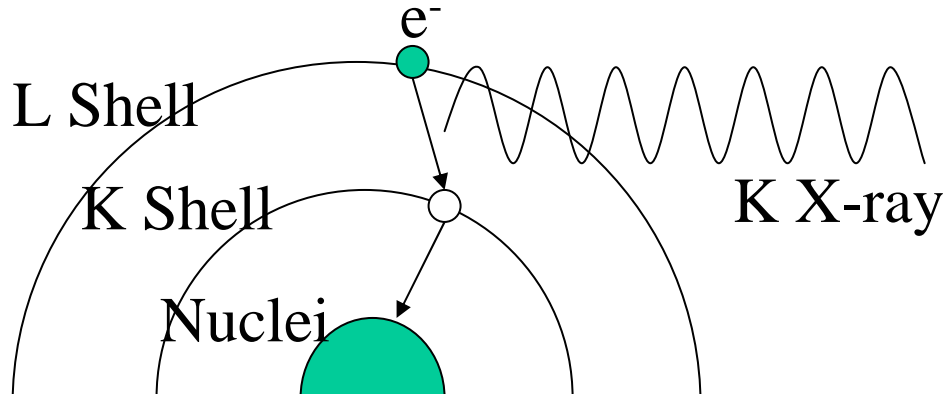
total

gs

(et)



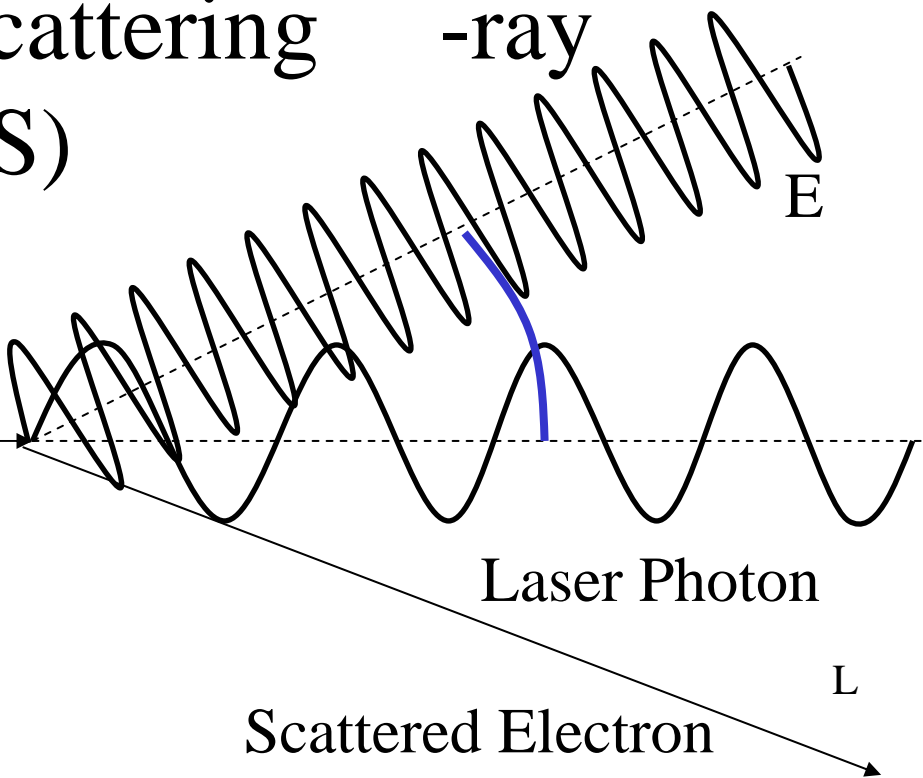
$^{180}\text{Ta}^{\text{gs}}$ の 1 decayあたり
93keV -ray 4.665%
55.8keV K ₁ 33.12%
54.6keV K ₂ 19.20%



Laser Compton Scattering (LCS)

Incident Electron

E_e



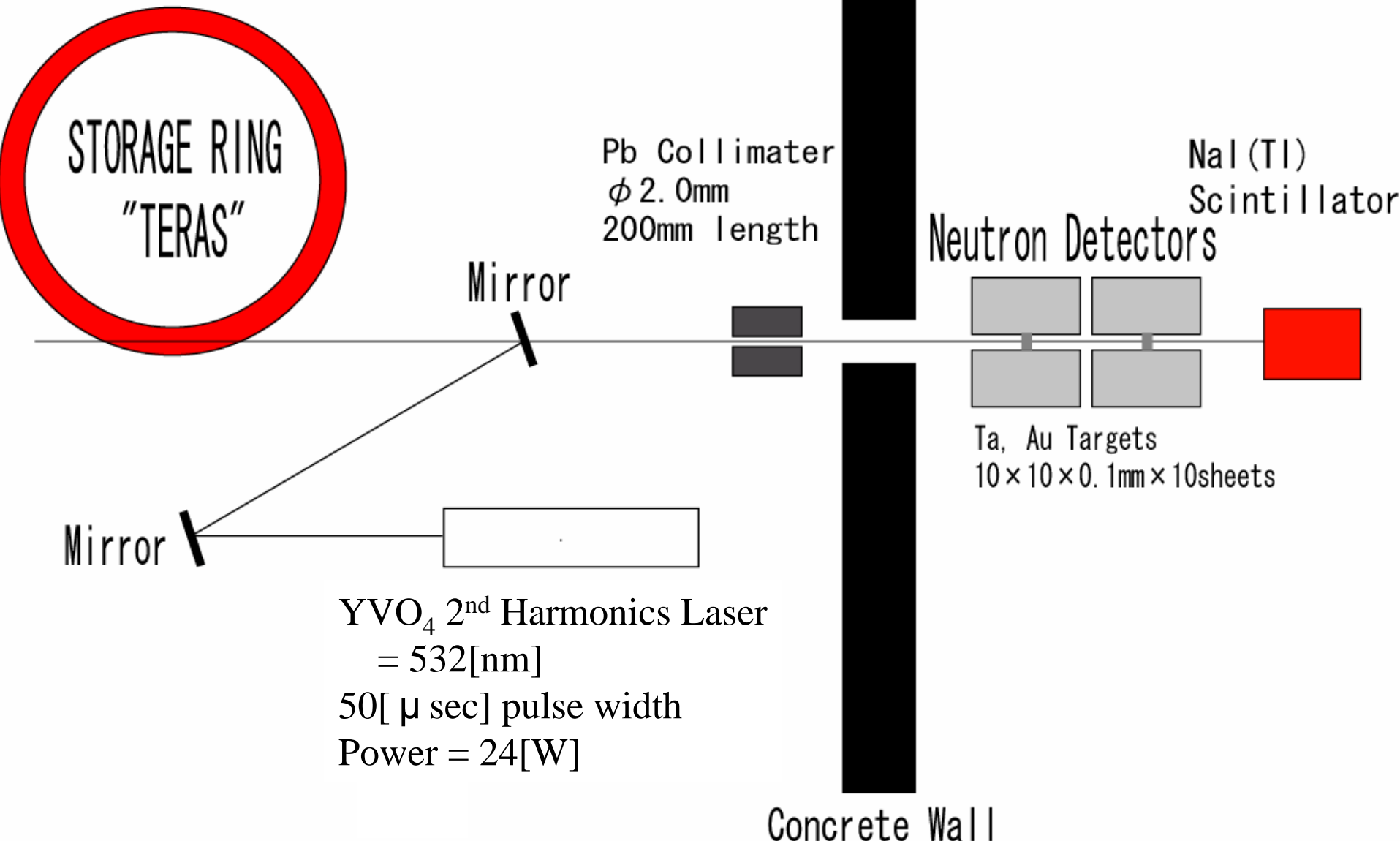
$$E_\gamma = \frac{\varepsilon_L (1 - \beta \cos \theta_L)}{1 - \beta \cos \theta + \frac{\varepsilon_L \{1 - \cos(\theta_L - \theta)\}}{E_e}}$$

: Velocity of Electron / c

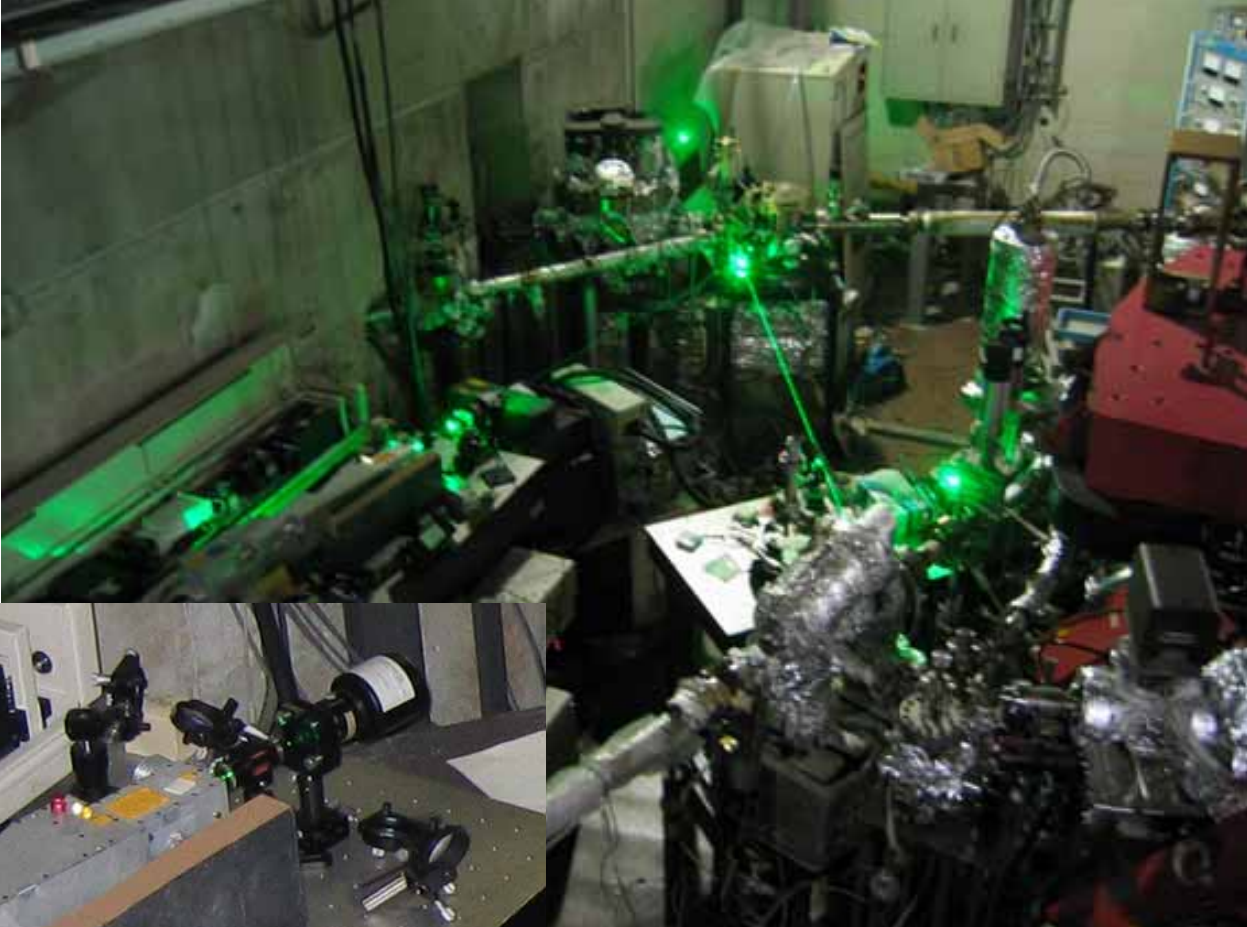
: Scattered Angle of Laser Photon

θ_L : Incident Angle of Laser Photon

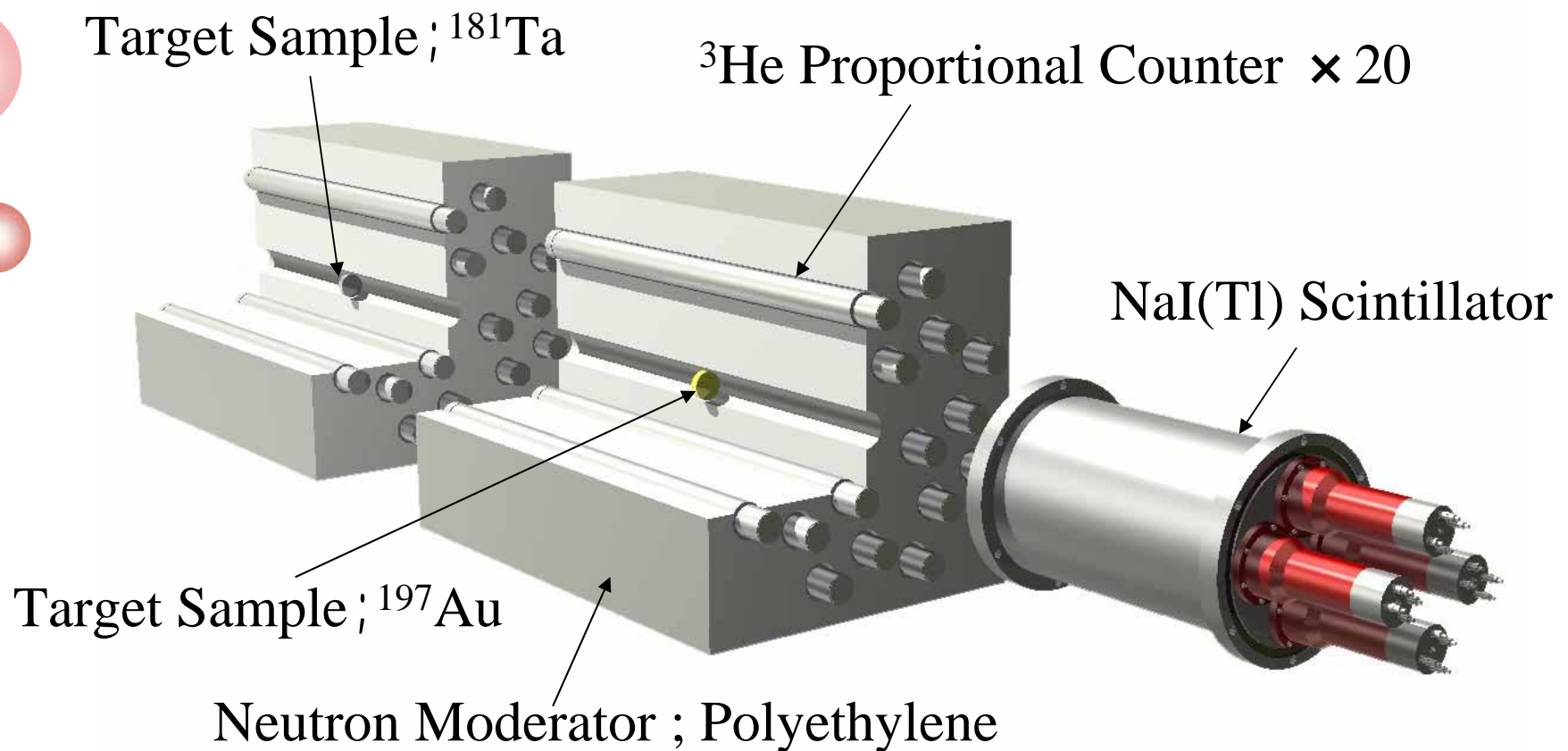
Experimental Set-up



Nd:YVO₄ Q-Switch Laser “INAZUMA”



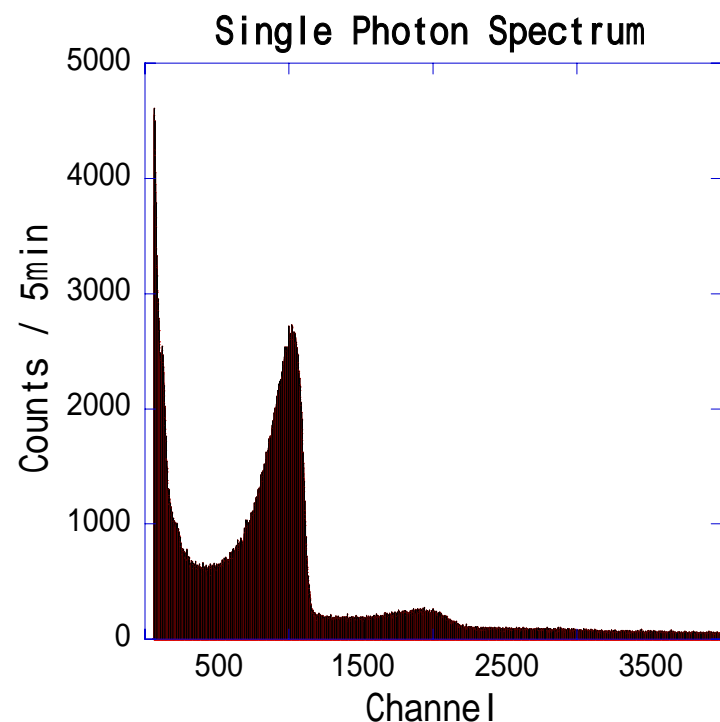
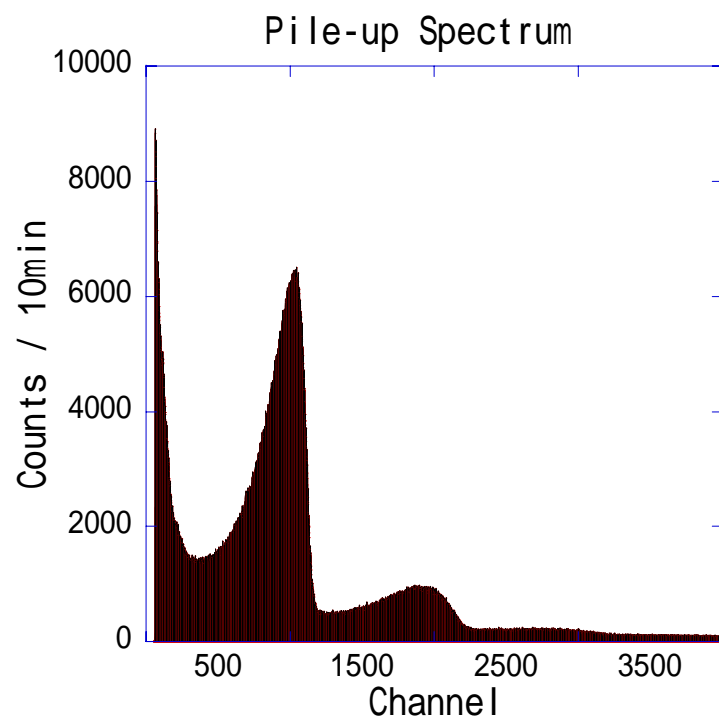
Neutron Detectors



The measurements of total photoneutron cross sections with the direct neutron counting

- $^{181}\text{Ta}(\gamma, n)^{180}\text{Ta}$ 反応において、入射 線数、散乱中性子数を測定
- Ge検出器にて入射 線Energy分布を測定
- 線Energy広がりを考慮に入れ、測定Dataを元にLorentz関数型の励起関数を決定する

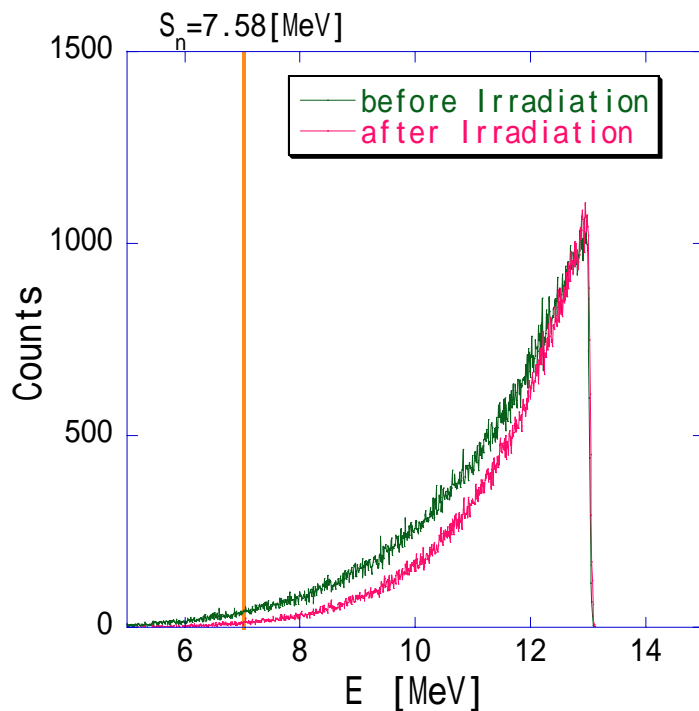
NaI(Tl) Scintillator Spectra



The number of incident γ -ray

$$n_{\gamma} = \frac{\text{Average channel for Pile-up Spectrum}}{\text{Average channel for Single Photon Spectrum}} \times \text{Total counts for Pile-up Spectrum}$$

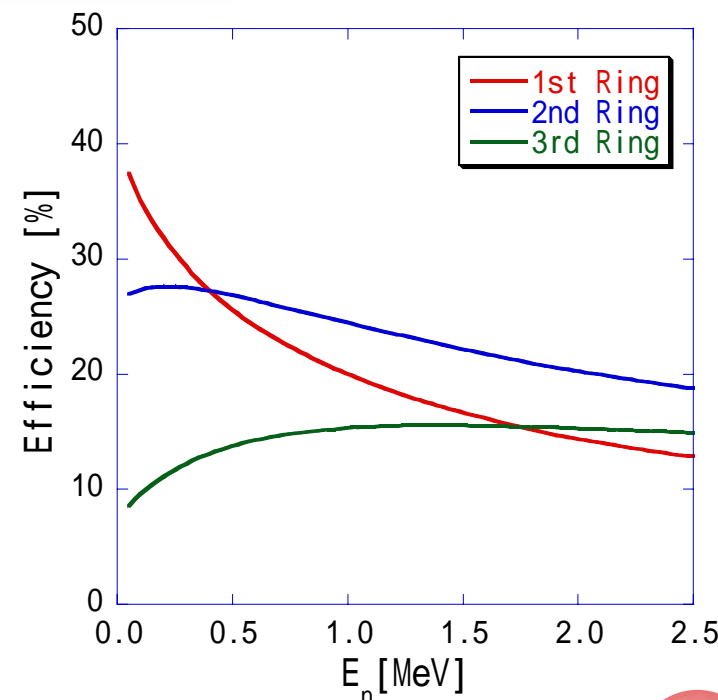
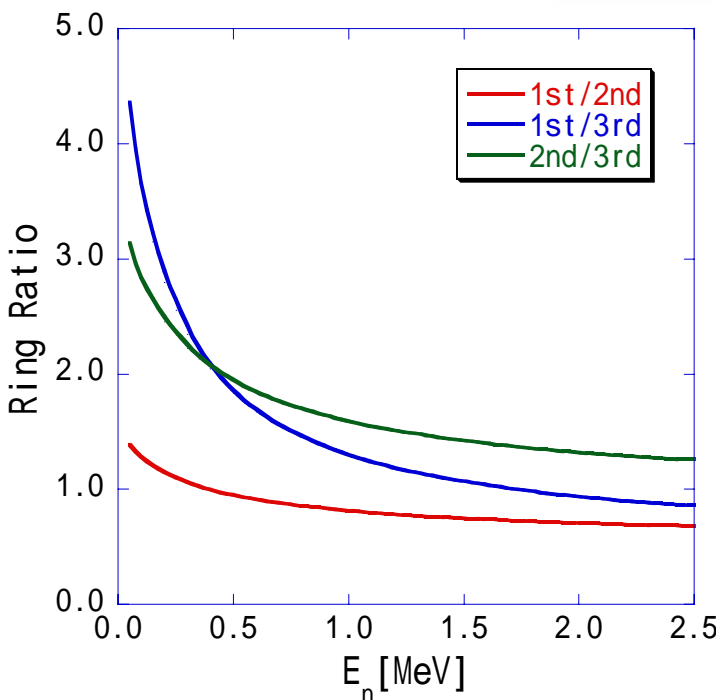
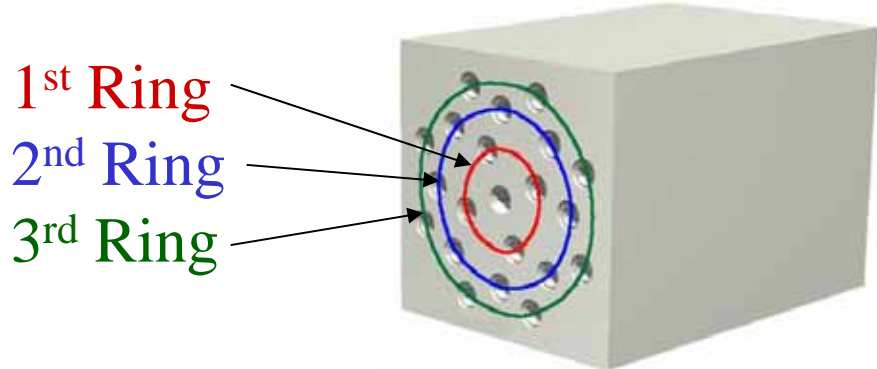
LCS- Energy Distribution



	Fraction	Avg.E [MeV]
before	0.950	10.77
after	0.986	10.98

Irradiation time ; 5.67[hour]

Neutron Detector Efficiency



Total Cross Sections

Fitting to Lorentz function

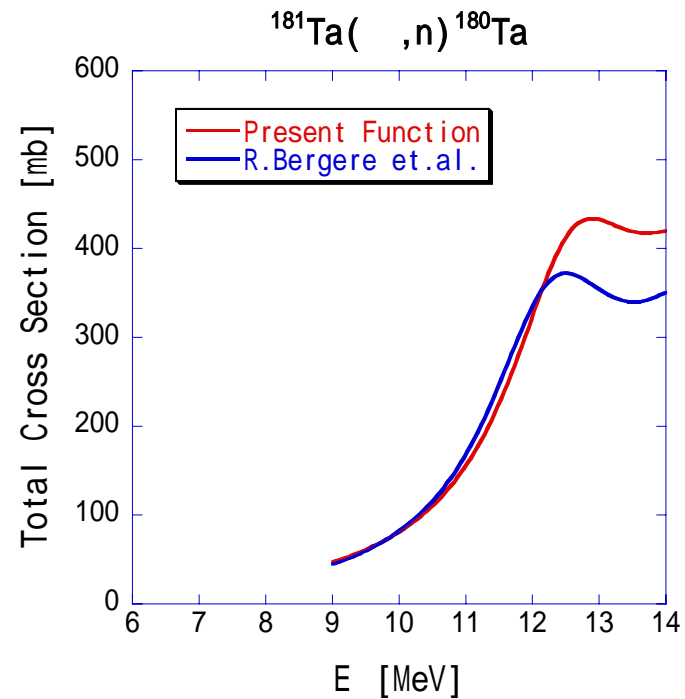
(13 data points ; $7.58 < E \text{ [MeV]} < 14.2$)

$$\sigma^{tot}(E) = \sum_{k=1}^2 \frac{\sigma_k}{1 + \frac{(E^2 - E_k^2)^2}{E^2 \Gamma_k^2}}$$

E_k : Resonance energy

Γ_k : Peak Cross Section at E_k

Γ_k : FWHM



The measurements of partial photoneutron cross sections with the photoactivation

- $^{181}\text{Ta}(\gamma, n)^{180}\text{Ta}$ 反応において、入射 線数の時間変化を追いながら、数時間照射を続ける
- 照射終了後にGe Detectorにて、放射化したTarget sampleの崩壊を測定する
- 得られたデータより、Total Cross Section、Partial Cross Sectionそれぞれの $\frac{\text{Sn}}{\text{Sn}_0} \frac{n(E)}{n_0(E)dE}$ の値を求める
- 上記のEnergy積分値の比と、先に求めたLorentz型Fitting FunctionからPartial Cross Sectionの絶対値を求める

Ge Detector Set-up



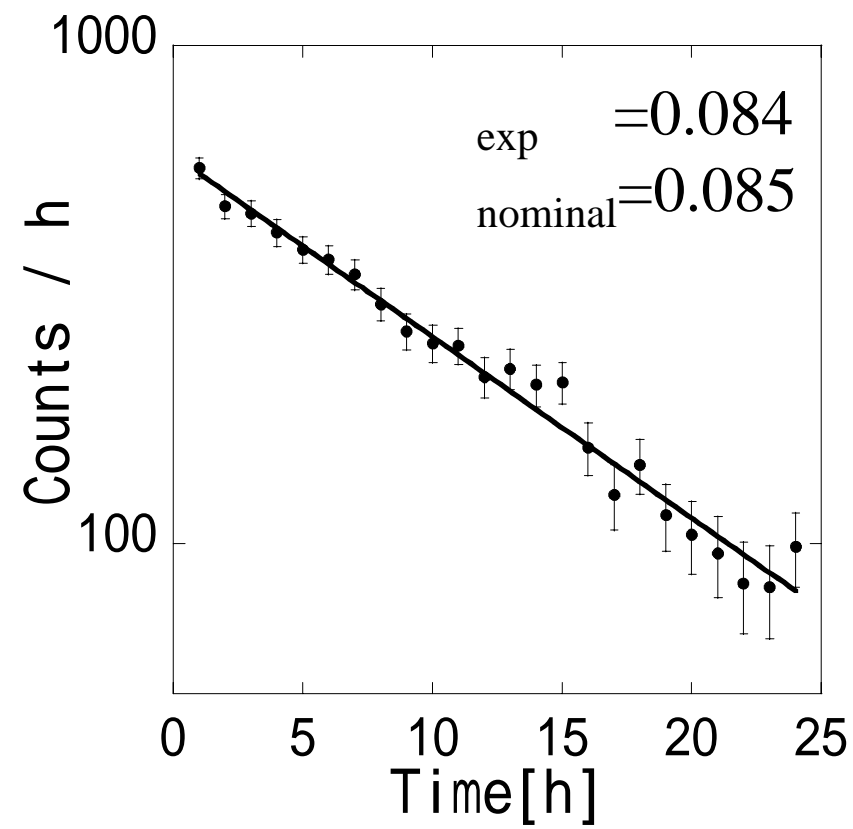
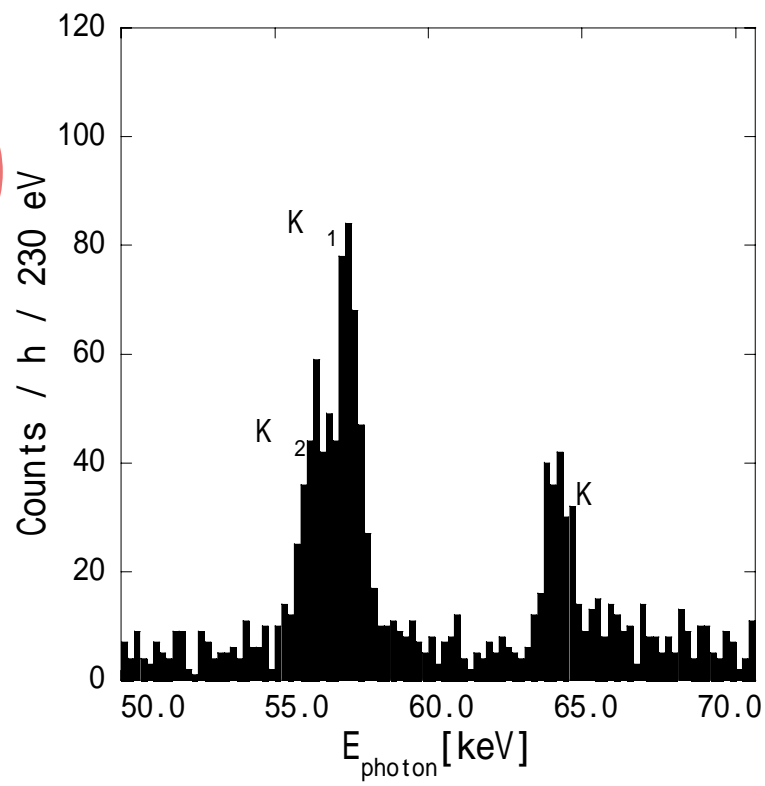
Activated Ta foils
on the acrylic cap



^{180}Ta gs

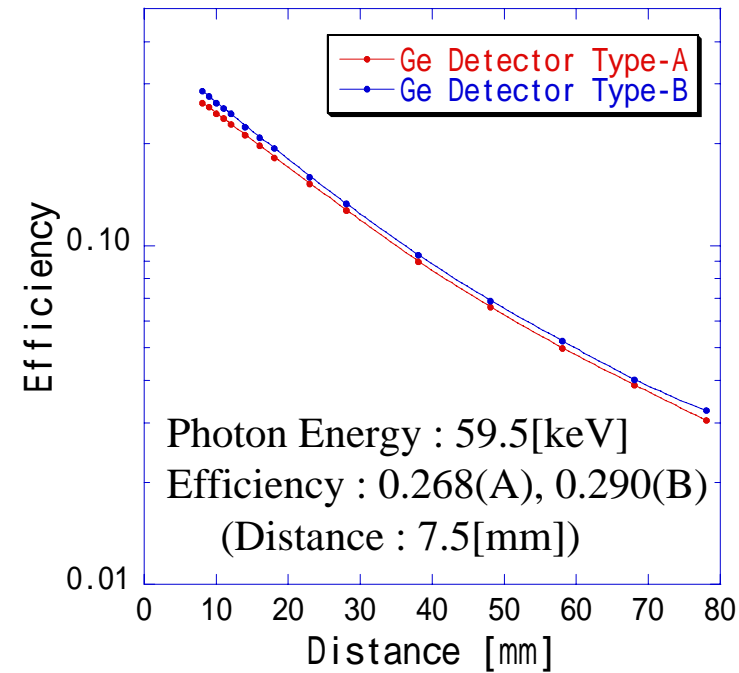
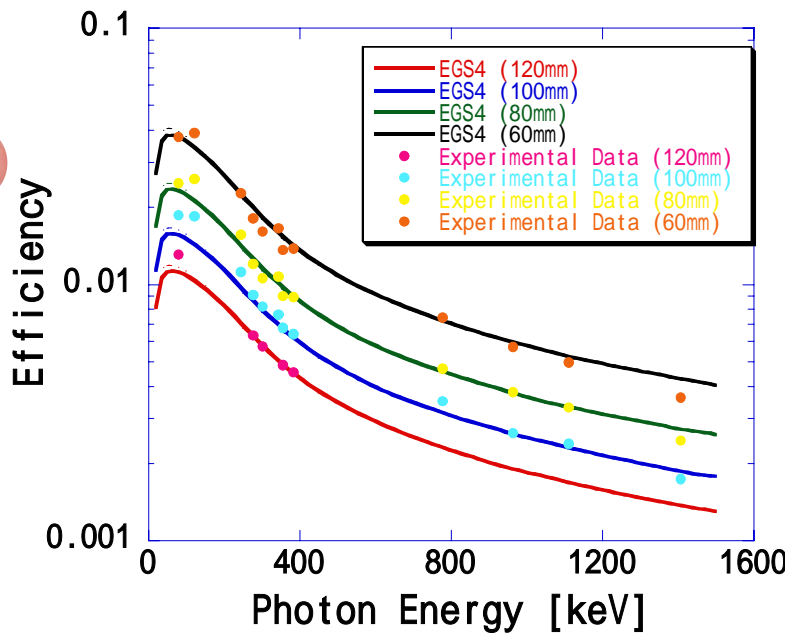
^{180}Hf

; Electron Capture

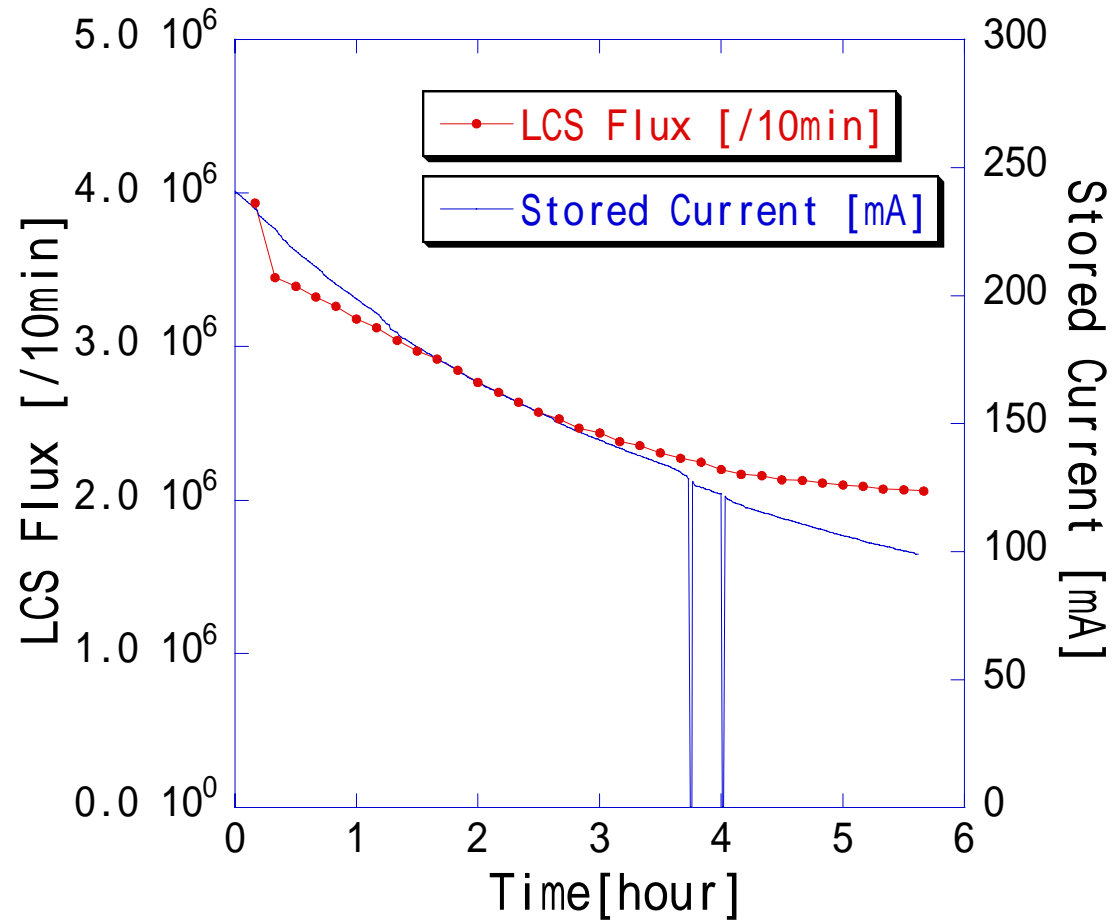


Ge Detector Efficiency

We obtained detection efficiency from Monte Carlo Simulation Code “EGS4” and Experimental Data with ^{241}Am and ^{109}Cd source.



LCS- Flux



Data Analysis for Direct Neutron Counting

$$\int_{S_n} n_\gamma(E) \sigma^{tot}(E) dE = \frac{n_n}{N_t \cdot f \cdot \varepsilon_n(E_n)}$$

n (E): The number of incident -ray

$\sigma^{tot}(E)$: Total photoneutron cross section

n_n : The number of scattered neutrons

N_t : Area density of the target

S_n : Tneutron separation energy

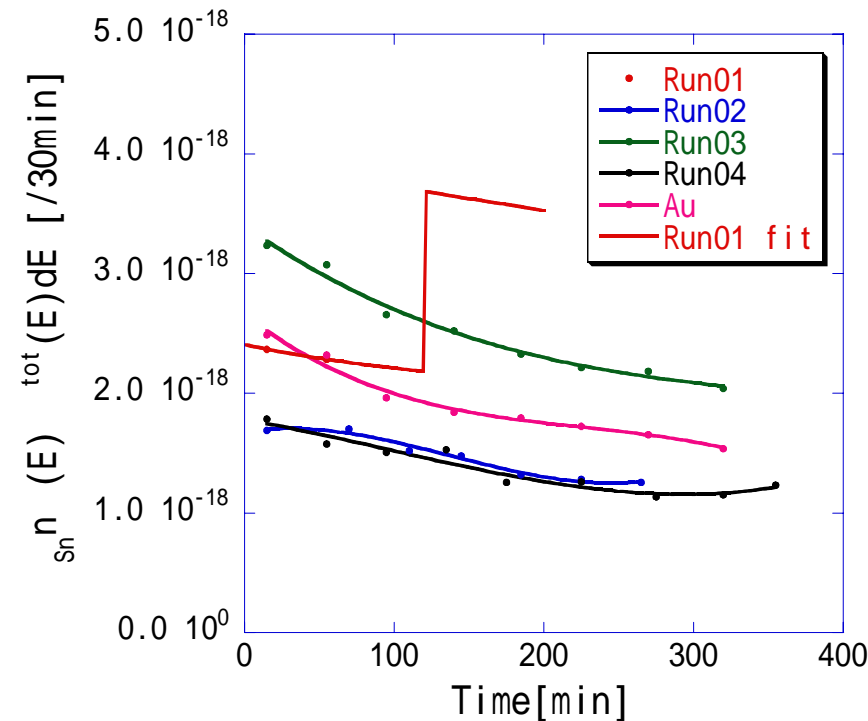
$\varepsilon_n(E_n)$: Neutron detection efficiency

f: Correction factor for attenuation
in thick-target measurements

$$f = \frac{1 - e^{-\mu t}}{\mu t}$$

μ : Linear attenuation coefficient

t: Thickness of the target material



Data Analysis for Activation Method

Activation Phase

$$\frac{dN(t)}{dt} = N_t \int_{S_n} \sigma^{gs}(E) I(t, E) dE - \lambda N(t)$$

$N(t)$: The number of daughter nuclei

N_t : Area density of the target

S_n : Neutron threshold

$\sigma^{gs}(E)$: Partial photoneutron cross section

$I(t, E)$: γ -ray Flux

λ : Decay constant of daughter nuclei

Decay Phase

$$\int_{t_{start}}^{t_{stop}} \lambda \cdot N(t_{ir}) \cdot e^{-\lambda t} \cdot h \cdot i \cdot \varepsilon_x(E_x) dt = Yield$$

t_{start} : Start time of the measurement

t_{stop} : Stop time of the measurement

h : Emission Intensity of X-ray

i : Self absorption of the targets

$\varepsilon_x(E_x)$: Efficiency of the Ge Detector

t_{ir} : Stop time of the irradiation

$$\int_{S_n} n_\gamma(E) \sigma^{gs}(E) dE = \frac{Yield \cdot e^{\lambda t_{ir}}}{N_t \cdot h \cdot i \cdot \varepsilon_x(E_x) \cdot (e^{-\lambda t_{start}} - e^{-\lambda t_{stop}})} \cdot \frac{\int_0^{t_{ir}} K(t) dt}{\int_0^{t_{ir}} K(t) \cdot e^{\lambda t} dt}$$

$$n_\gamma(E) = \int_0^{t_{ir}} I(t, E) dt = \int_0^{t_{ir}} J(E) K(t) dt$$

Partial Cross Sections m

$$\sigma^m = \sigma^{tot} - \frac{\int_{S_n} n_\gamma(E) \sigma^{gs}(E) dE}{\int_{S_n} n_\gamma(E) \sigma^{tot}(E) dE} \times \sigma^{tot}$$

$$\int_{S_n} n_\gamma(E) \sigma^{gs}(E) dE = \frac{Yield \cdot e^{\lambda t_{ir}}}{N_t \cdot h \cdot i \cdot \varepsilon_X(E_X) \cdot (e^{-\lambda t_{start}} - e^{-\lambda t_{stop}})} \cdot \frac{\int_0^{t_{ir}} K(t) dt}{\int_0^{t_{ir}} K(t) \cdot e^{\lambda t} dt}$$

$$\int_{S_n} n_\gamma(E) \sigma^{tot}(E) dE = \frac{n_n}{N_t \cdot f \cdot \varepsilon_n(E_n)}$$

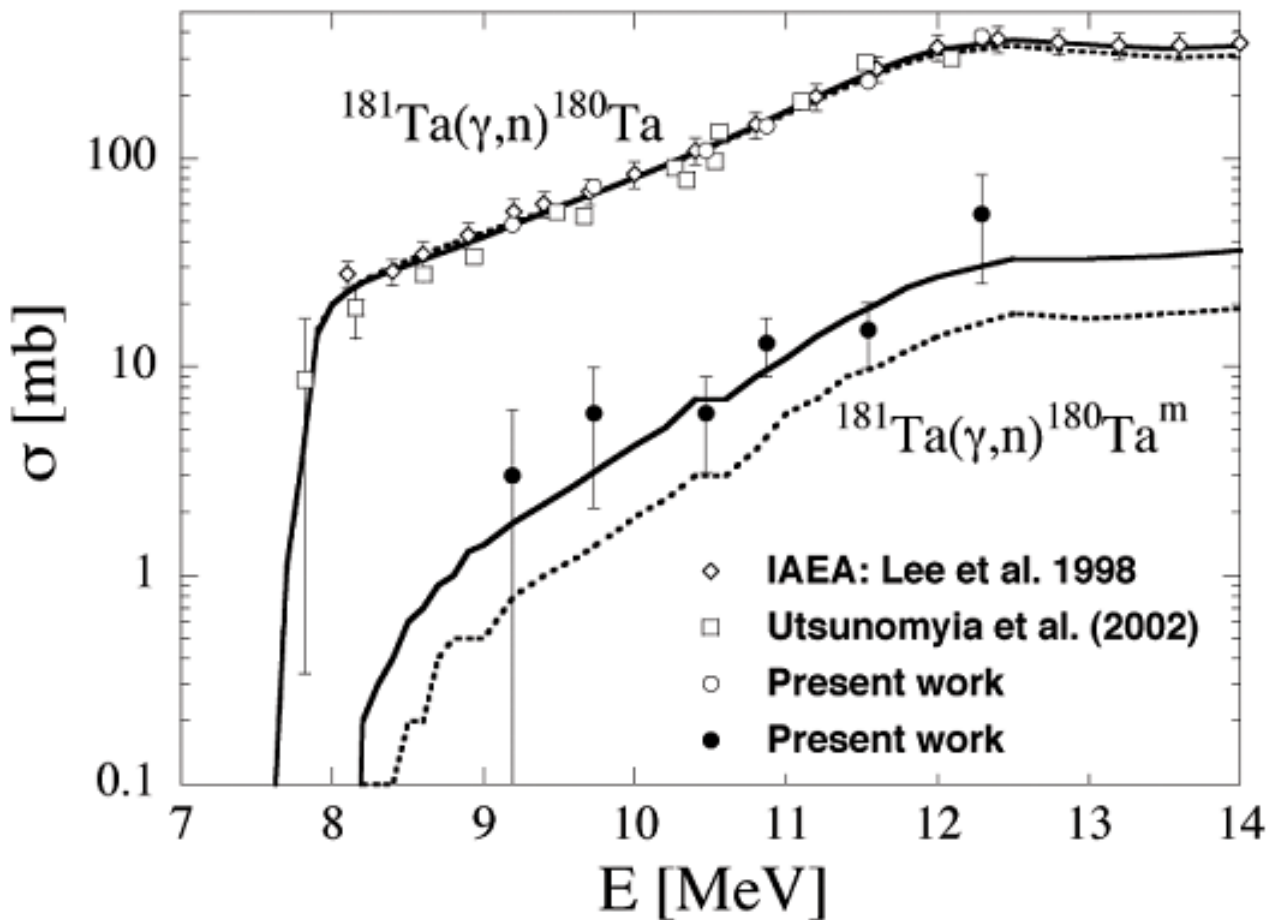
$$\sigma^{tot}(E) = \sum_{k=1}^2 \frac{\sigma_k}{1 + \frac{(E^2 - E_k^2)^2}{E^2 \Gamma_k^2}}$$

The case of ^{197}Au

photoactivation = (0.99 ± 0.015) *neutron counting*

Systematic error for σ^{tot} : 4.4% (n : 3.0%, n_n : 3.2%)

Experimental results, and comparison with theoretical models



The Solid Line ; Combinatorial NLD model

The Dashed Line ; Statistical NLD model

Consideration for the nucleosynthesis of ^{180}Ta

- p-processは比較的高いエネルギー(1.8 T[10^9K] 3.0 ; typically 300[keV])で起こる為、 ^{180}Ta の基底状態と9-励起状態が熱平衡状態となり、 ^{180}Ta が生成率決定因子となり得ない。
- p-processによって生成された ^{180}Ta は、再度光核分解を起こし ^{179}Ta へ崩壊する事が考えられ、その反応断面積の実験情報が必要となる。

Summary

- 産総研のLCS- 線を用いて $^{181}\text{Ta}(\ ,\text{n})^{180}\text{Ta}^m$ 部分光核反応断面積の測定を行い、6点のE において結果を得た。
- ^{180}Ta の熱平衡や、光核分解の効果により、本実験結果だけからp-processによる ^{180}Ta の生成率を決定する事は出来ない。
- Spring-8にSCWを設置する事で発生する放射光を使えば $^{180}\text{Ta}^m(\ ,\text{n})^{179}\text{Ta}$ 消滅断面積の測定が可能となる。
- 上記の放射光のエネルギー分布はp-process光子のそれと酷似しており、本研究にとって最適の光源として期待できる。